

# Miniseminar om lavbund – miljøeffekter og retention



SEGES den 25. april 2019

TReNDS afslutningsseminar, 29. november 2018, Århus

## Nitratomsætning i vandløbsnære lavbundsarealer - nøglen til oplandets kvælstofbalance

Chefforsker Charlotte Kjærgaard<sup>1,2</sup>

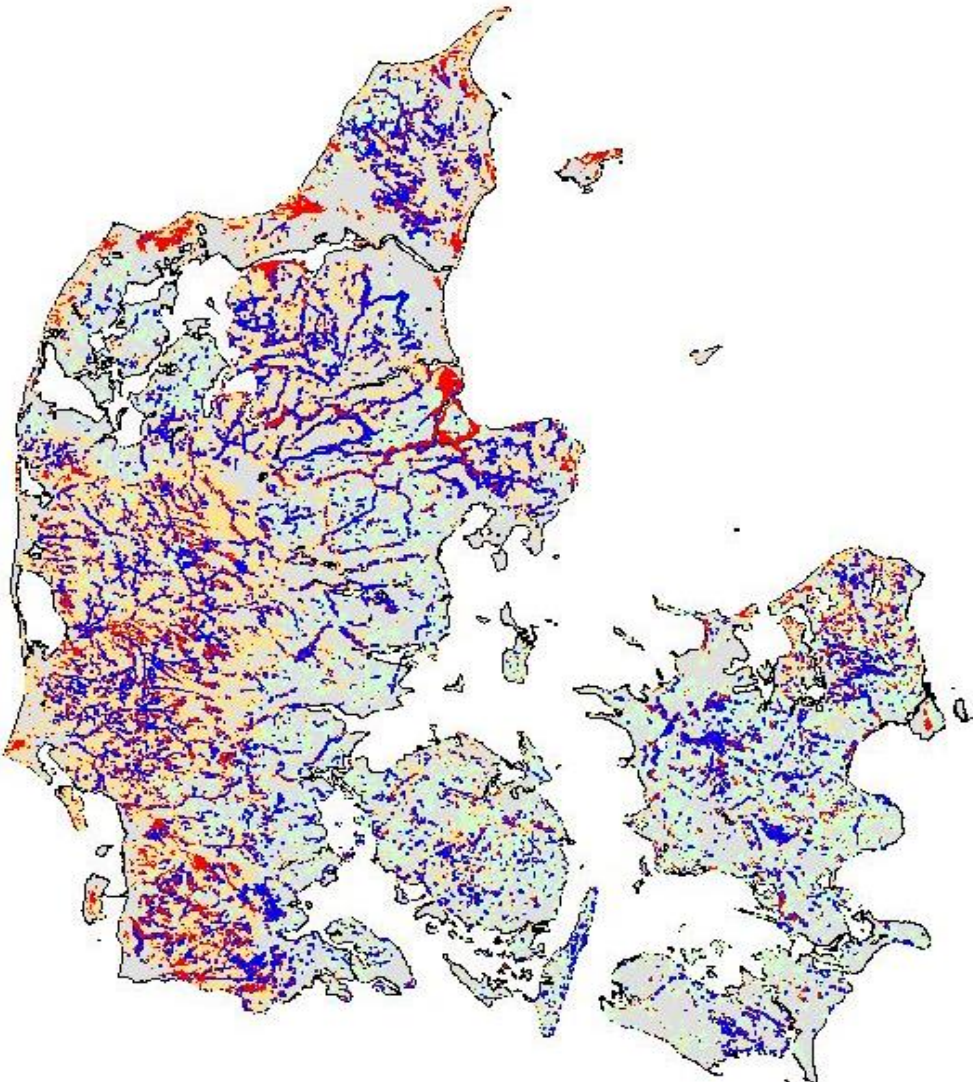
PhD-studerende Rasmus Jes Petersen<sup>2</sup>, Christian Prinds<sup>2</sup>, Mads Steiness<sup>3</sup>

Vejledere Lektor Søren Jessen<sup>3</sup>, Professor Peter Engesgaard<sup>3</sup>, Lektor Bo V. Iversen<sup>2</sup>

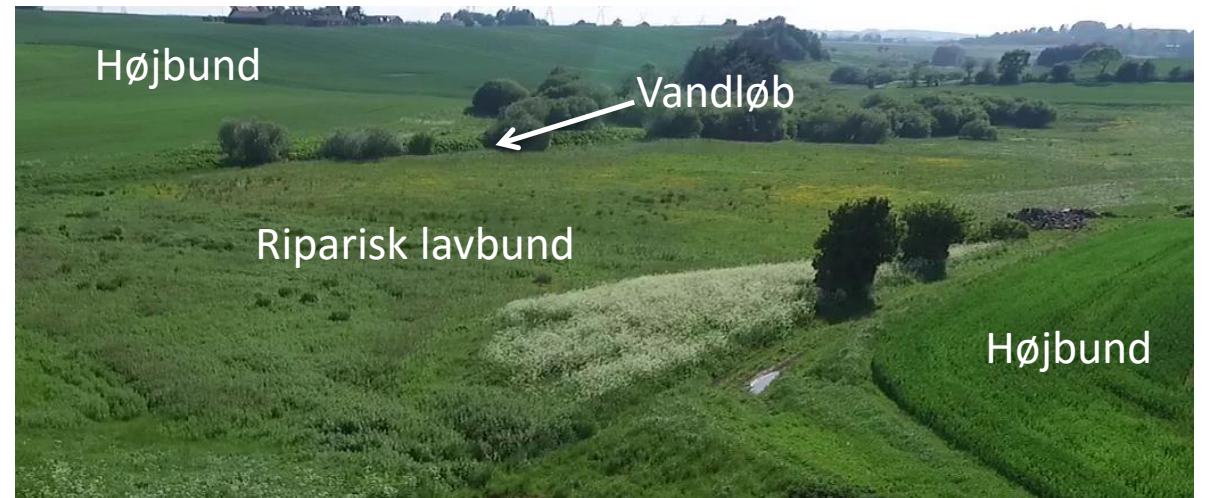
<sup>1</sup> SEGES, Agro Food Park, Aarhus; <sup>2</sup> Aarhus Universitet, Institut for Agroøkologi (AGRO)

<sup>3</sup> Københavns Universitet, Institut for Geovidenskab og Naturforvaltning (IGN)

# Ripariske (vandløbsnære) lavbundsarealer

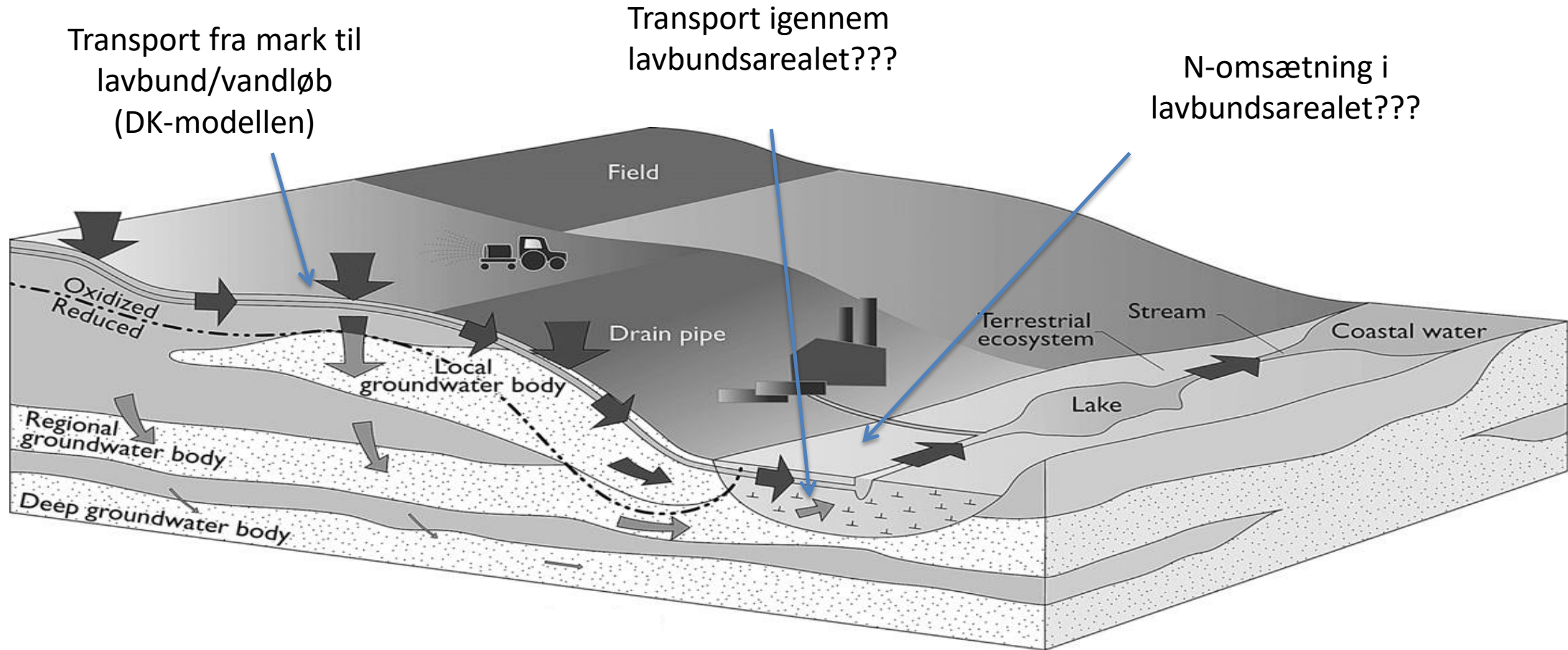


- Ripariske lavbundsarealer udgør overgangszonen mellem højbund og vandmiljø
- Danske ripariske lavbundsarealer udgør 433.552 ha
- 761.948 ha (27%) landbrugsareal er direkte opland til riparisk lavbund
- Potentielt har ripariske lavbundsarealer meget stor betydning for oplandets kvælstofbalance

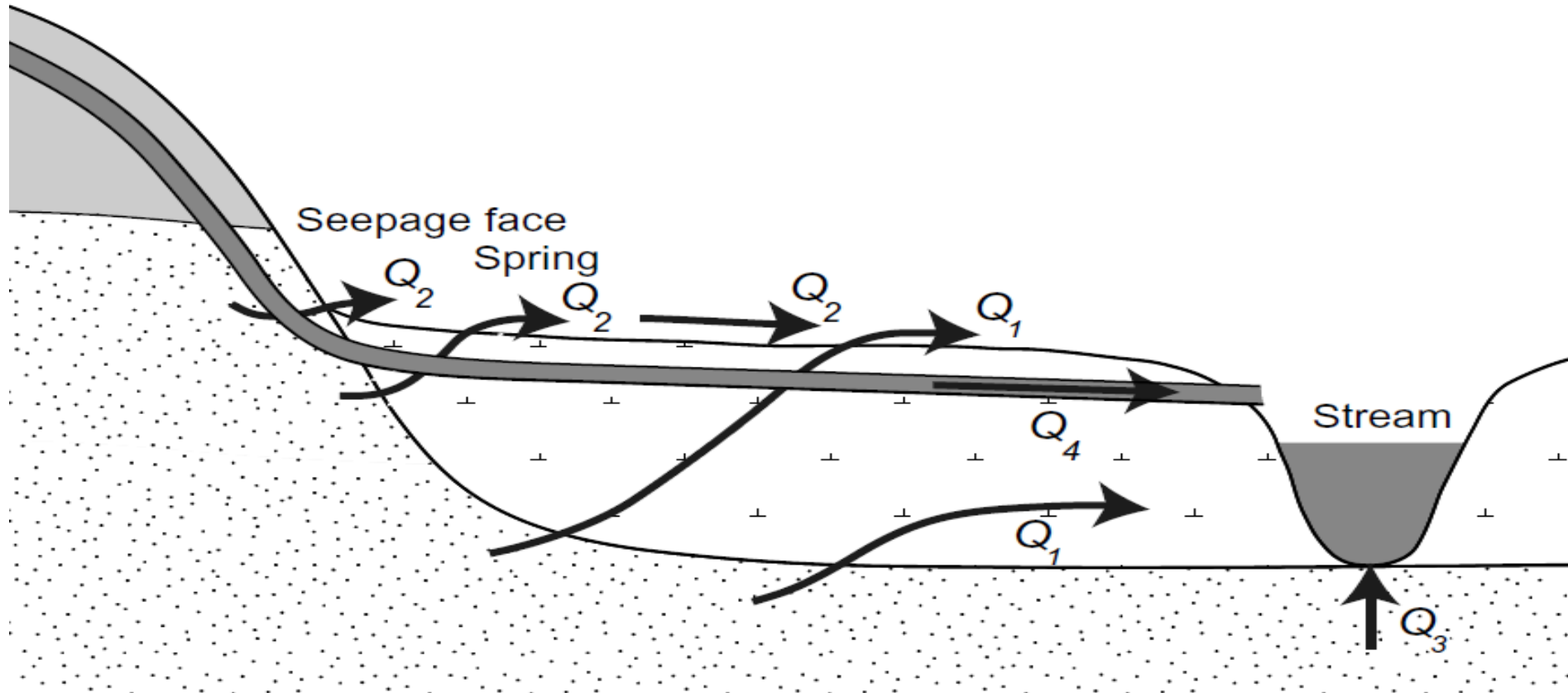


# Hvad betyder lavbundsarealer for oplandets kvælstofbalance ?

- Lavbundsarealer kan påvirke N-udledningen fra <0 til 100%
- Retention i lavbundsarealer er ikke inkluderet i det nuværende N-retentionskort



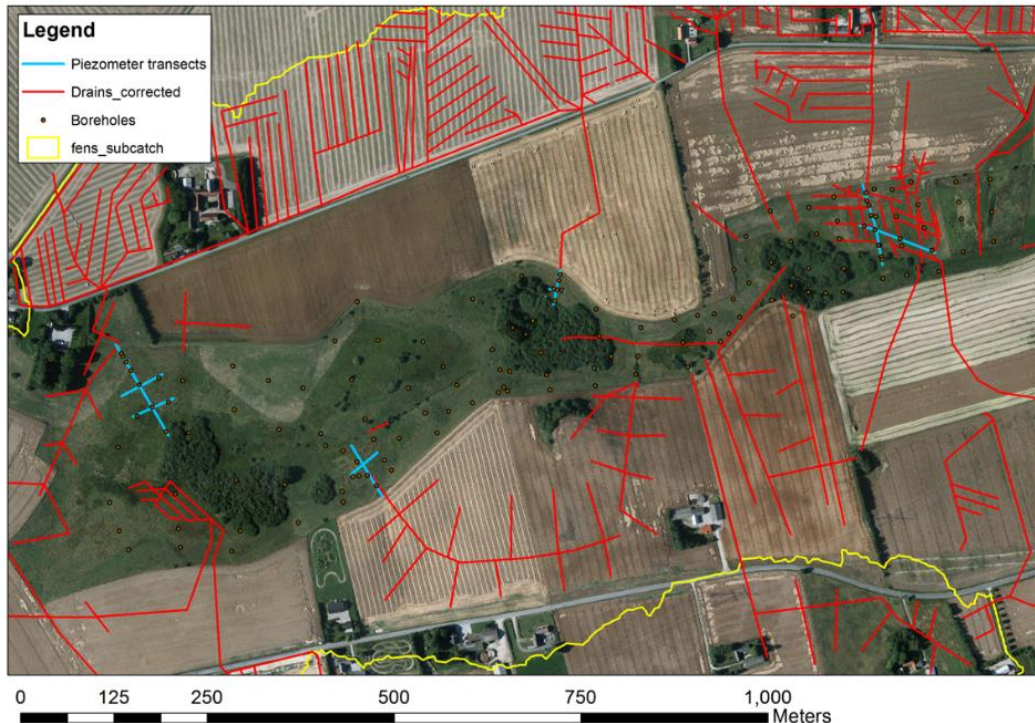
# Lavbundsaraler er en “Black Box” i den målrettede regulering?



# TReNDS lavbundslokaliteter

## Norsminde Fjord opland, Fensholt

- Moræneler - dræn domineret
- 26 ha lavbund (tørv over gytje)
- 194 ha opland (77% landbrug)



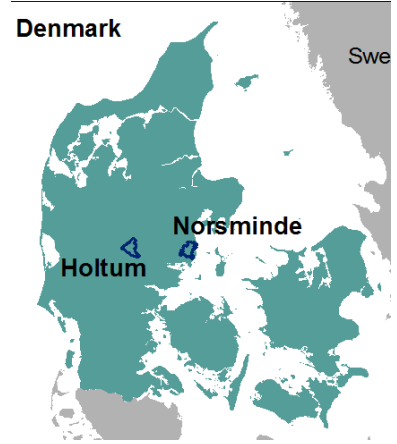
## Ringkøbing Fjord opland, Holtum

- Sandet, grundvands domineret
- Transek (255 m) på tværs af ådalen (majsmark-nord og vådområde syd)



PhD-stud Rasmus J. Petersen (AU)  
PhD-stud Christian Prinds (AU)

PhD-stud Mads Steiness (KU)

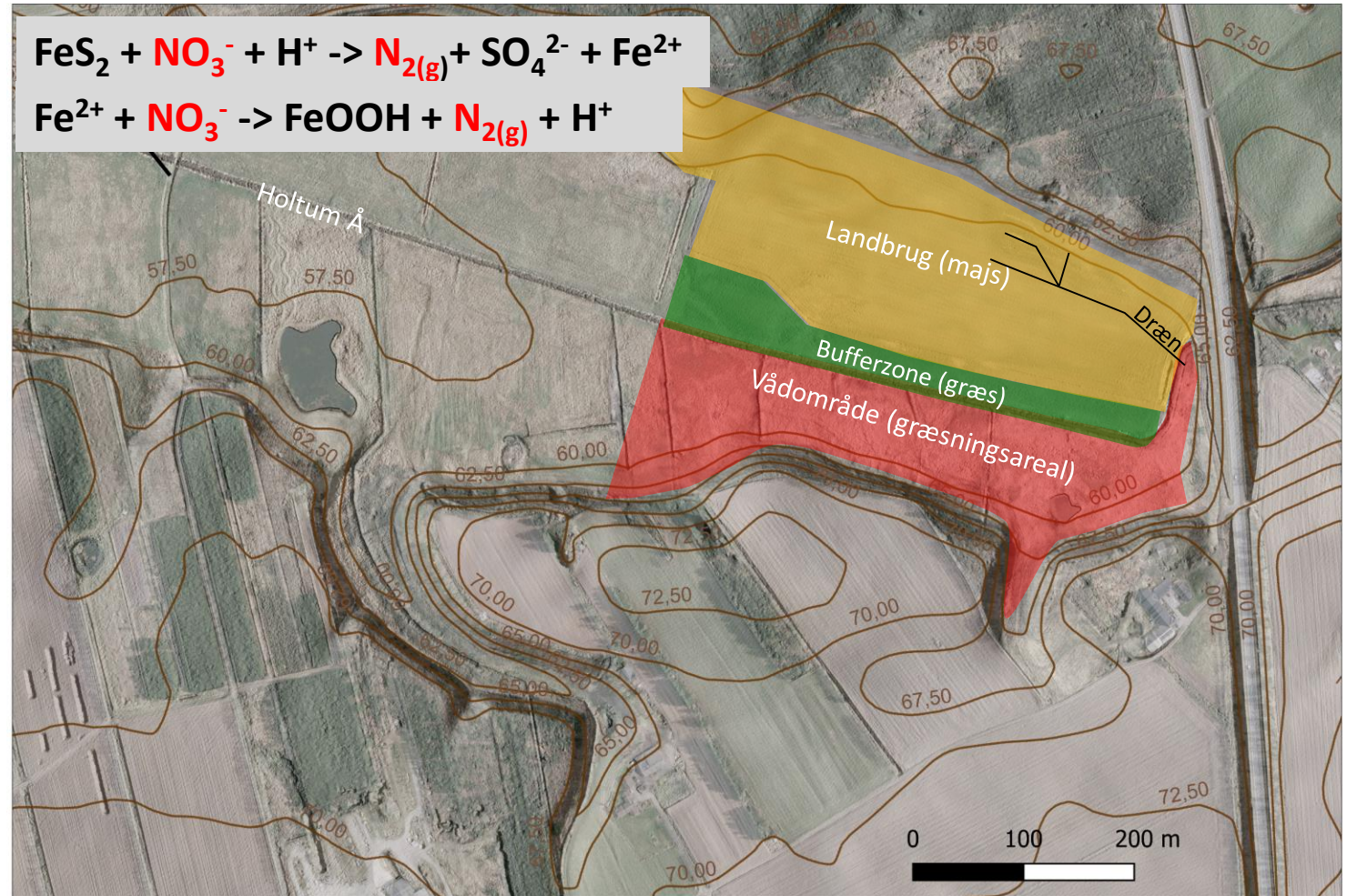


# Holtum – lokal heterogenitet og variation i N-retention

## Nordsiden (majsmarken)

- Grundvandstilstrømning fra nord reduceret gw ( $\text{NO}_3\text{-N} \sim 0$ )
- Nitrat-N der nedsiver i lavbundsjorden på majsmarken reduceres effektivt
- Nitrat-N reduktion ved pyrit-oxidation eller kombineret med org-C. Lavbunds-sedimentet er simultant jern- og sulfatreducerende
- Dræn ved skræntfod afleder noget markvand via et omfangsdræn ( $\text{NO}_3\text{-N}$  konc 1-3 mg/L)

Poster Mads Steiness: Diffuse vs. Direct groundwater discharge and nitrate delivery to Holtum Stream



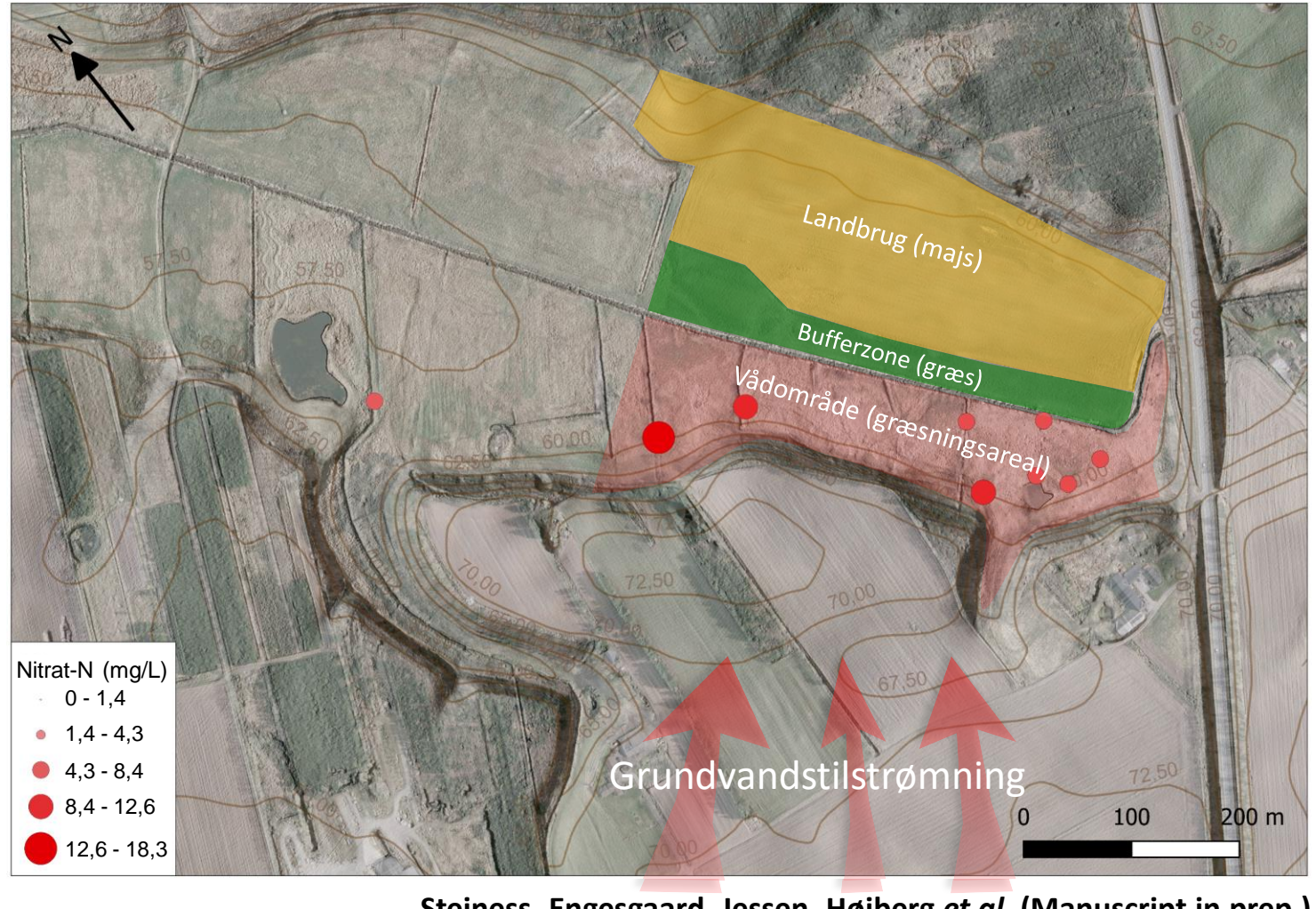
Steiness, Engesgaard, Jessen, Højberg et al. (Manuscript in prep.)

# Holtum – N-retention kontrolleret af overfladeafstrømning

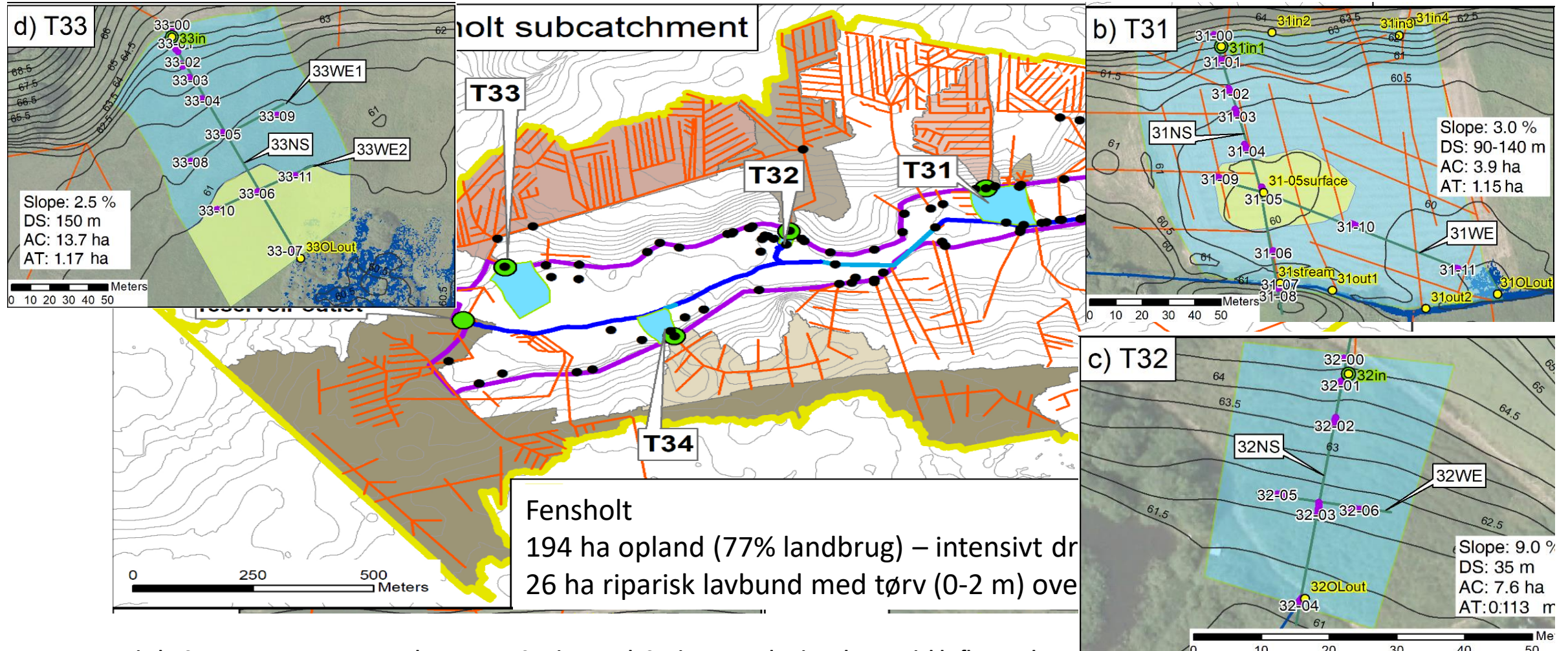
## Sydsiden (vådområde)

- Nitrat tilføres Holtum å med grundvand fra syd
- Kildevæld findes for enden af dybe grøfter og afskårne dræn
- Kildevæld/afskårne dræn med stor hydraulisk belastning bidrager til overfladeafstrømning af nitrat-holdigt grundvand

Poster Mads Steiness: Diffuse vs. Direct groundwater discharge and nitrate delivery to Holtum Stream

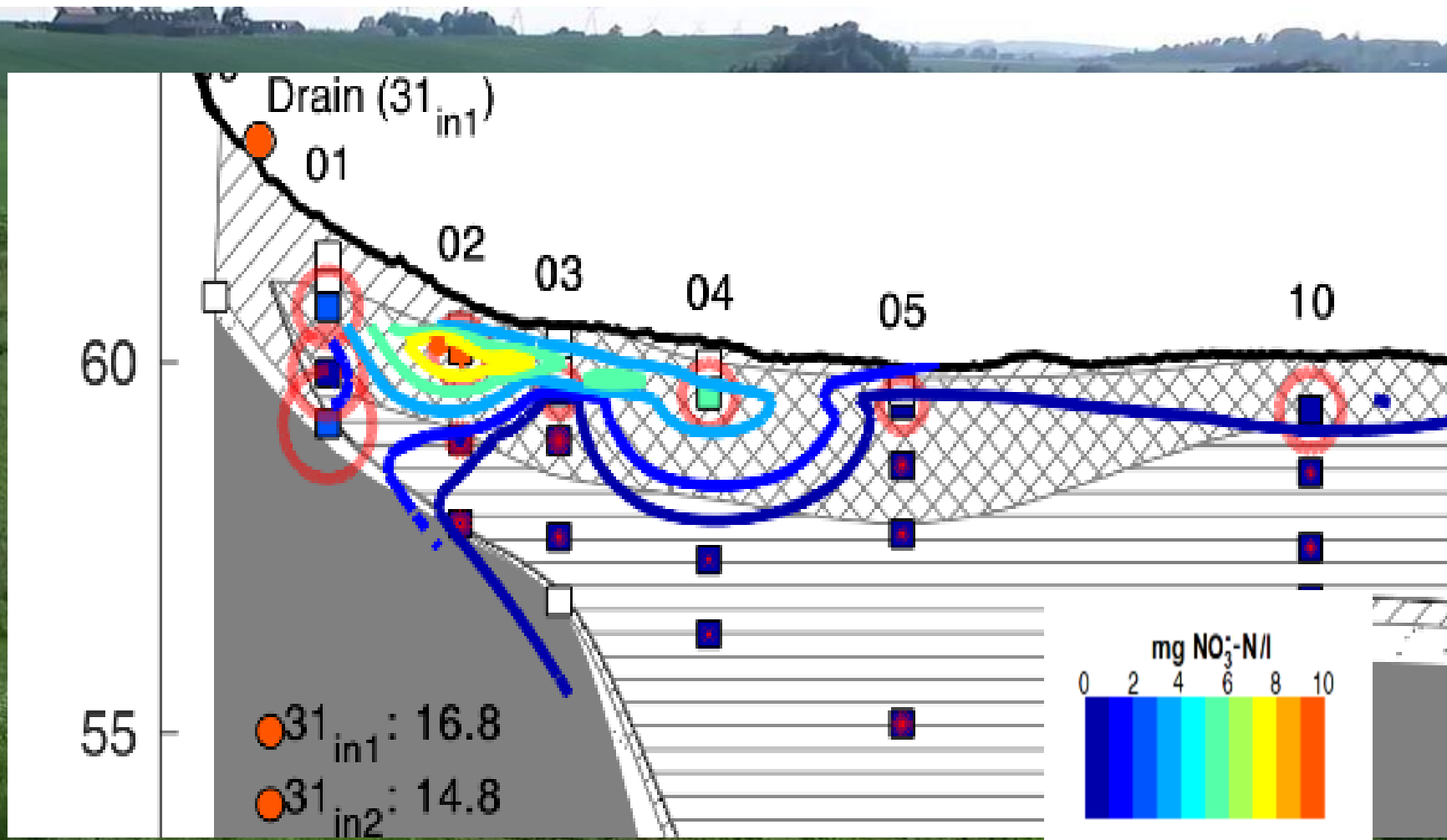


# Hydrologen i lavbundsarealet kontrollerer kvælstofbalancen



Petersen, R.J., Prinds, C., Iversen, B.V., Engesgaard, P., Jessen, S., Kjærgaard, C. Nitrogen reduction along variable flow pathways in riparian lowland transects. Submitted water res. research

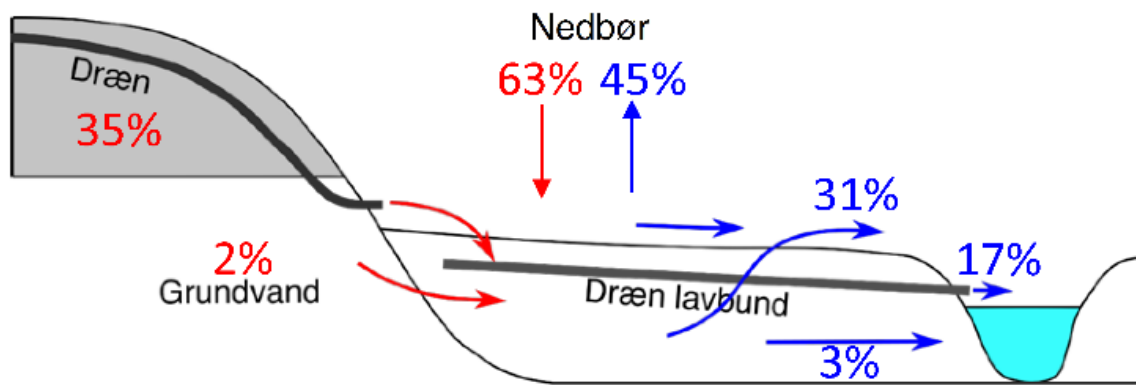
# Lavbundsarealers effekt på tilført NO<sub>3</sub>-N



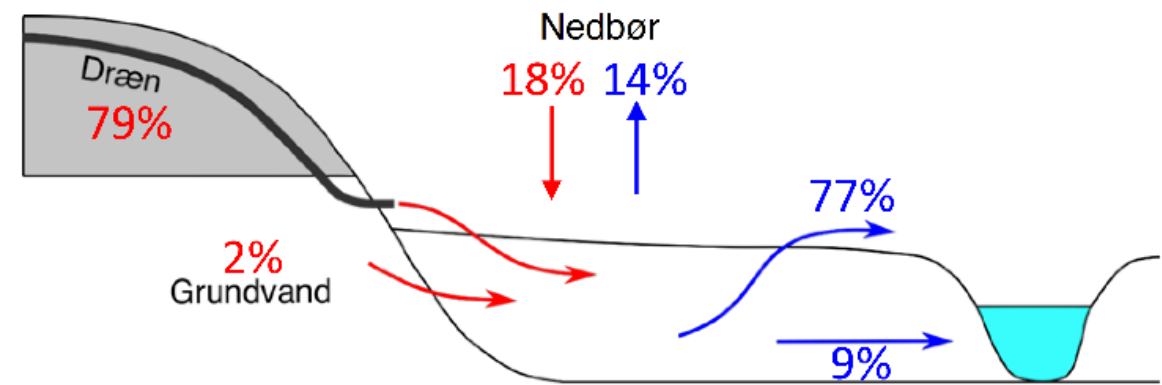
Dronefoto: SEGES

# Hydrologen i lavbundsarealet kontrollerer kvælstofbalancen

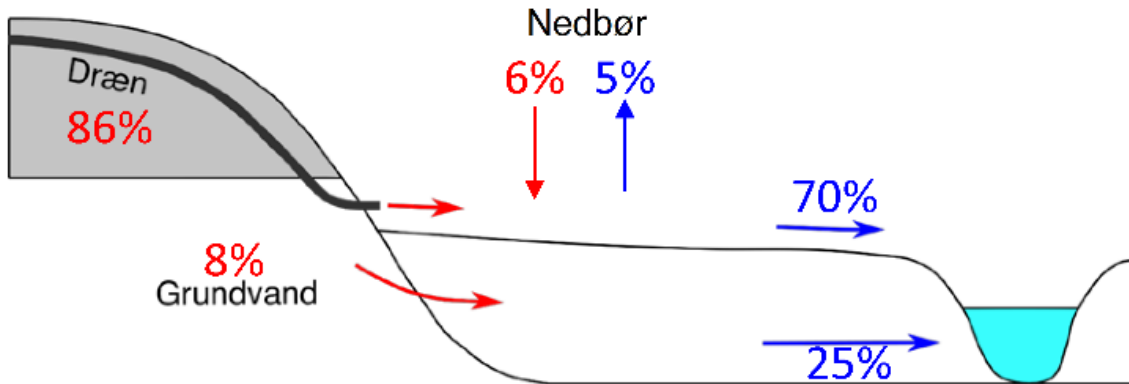
T31



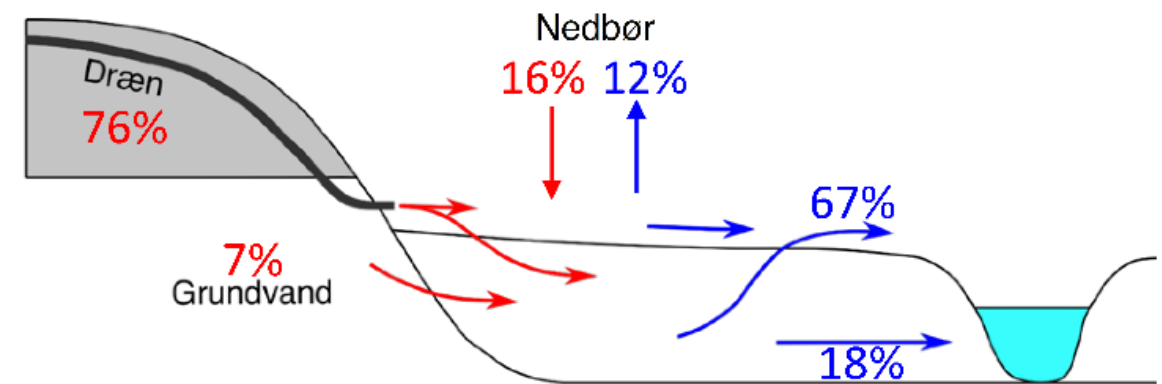
T33



T32



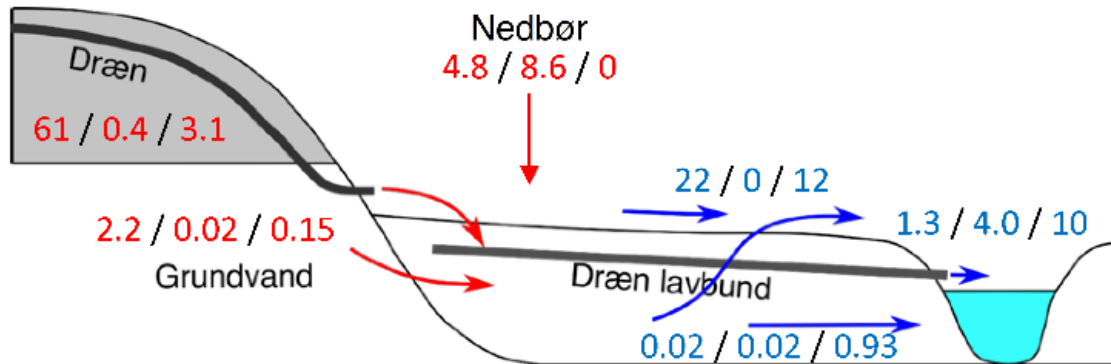
T34



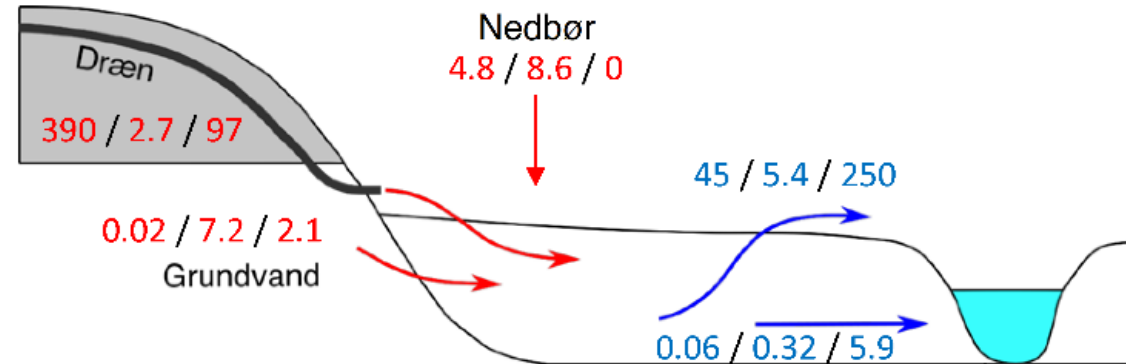
Petersen, R.J., Prinds, C., Iversen, B.V., Engesgaard, P., Jessen, S., Kjærgaard, C. Nitrogen reduction along variable flow pathways in riparian lowland transects. Submitted Water Res. Research

# Hydrologen i lavbundsarealet kontrollerer kvælstofbalancen

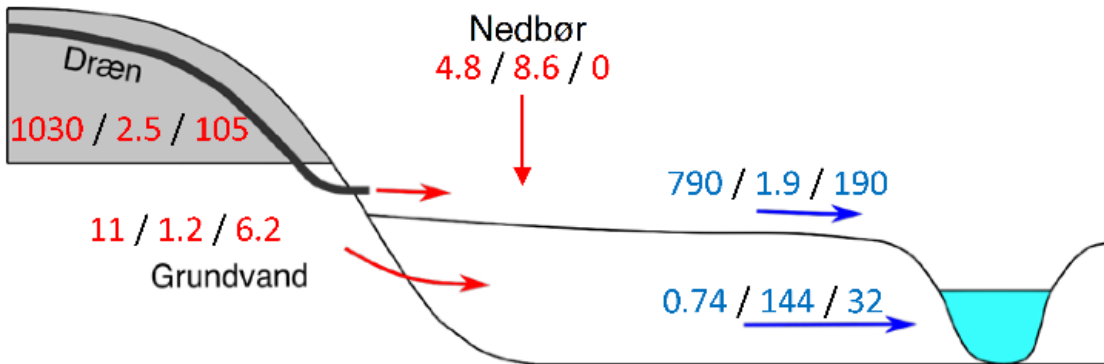
T31



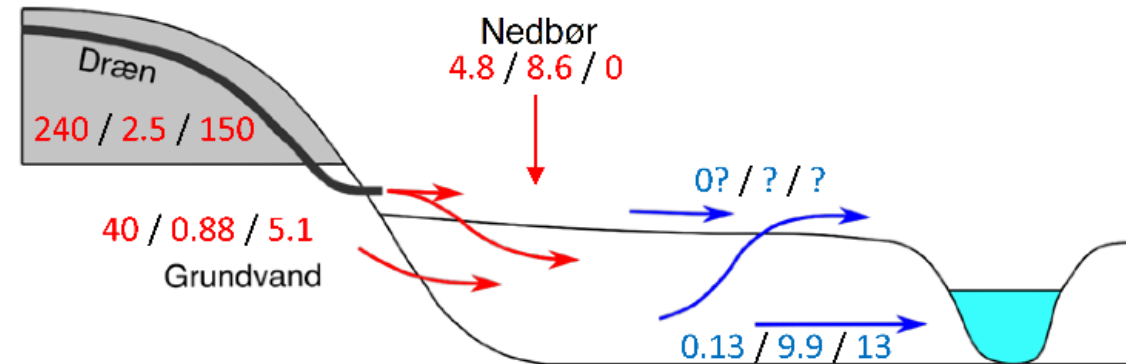
T33



T32



T34

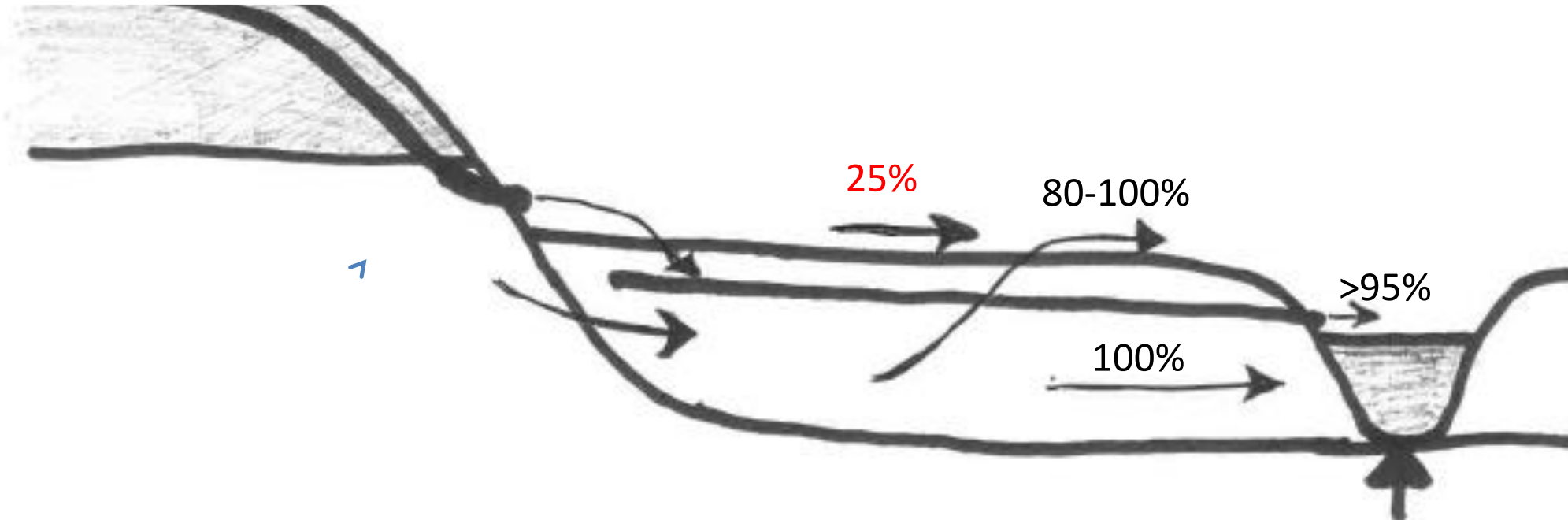


Inputs: Nitrat-N / Ammonium-N / Organisk N  
Outputs: Nitrat-N / Ammonium-N / Organisk N

Petersen, R.J., Prinds, C., Iversen, B.V., Engesgaard, P., Jessen, S., Kjærgaard, C. Nitrogen reduction along variable flow pathways in riparian lowland transects. Submitted Water Res. Research

# Lavbundsarealers effekt på tilført NO<sub>3</sub>-N

- Høj N-reduktionseffektivitet ved infiltration/transport/exfiltration i tørv (80-100%)
- Lav N-reduktionseffektivitet ved direkte overfladetransport (diffusiv flux kontrolleret)



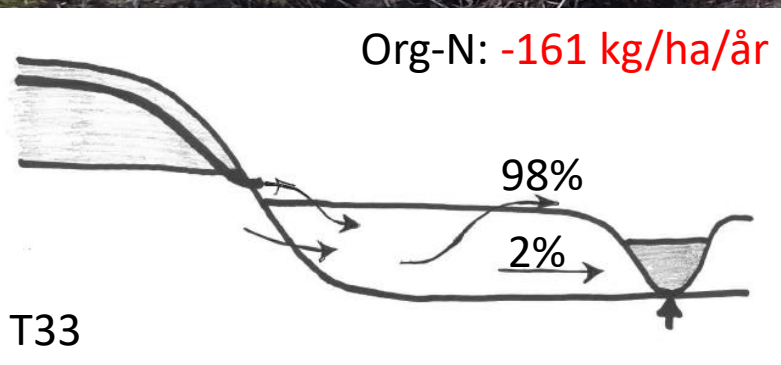
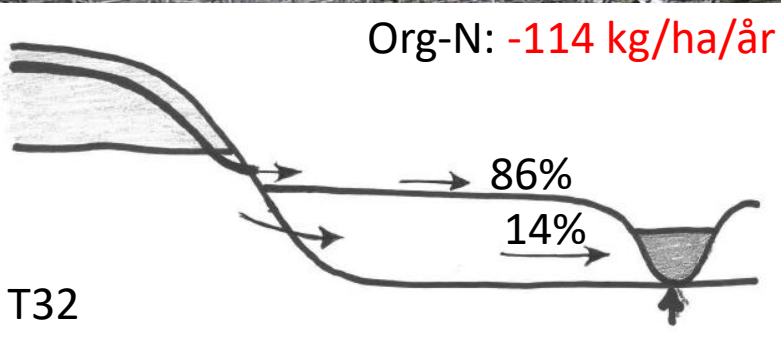
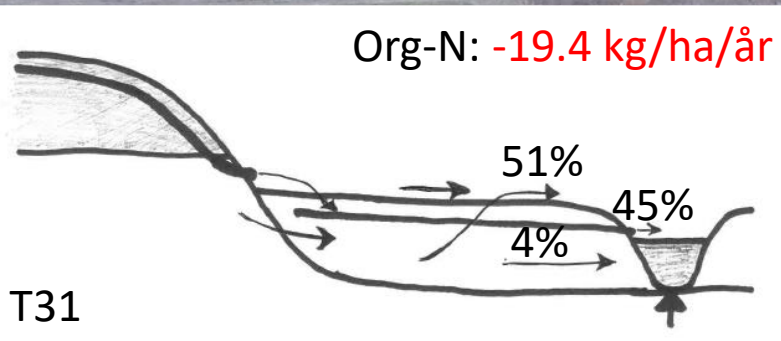
Petersen, R.J., Prinds, C., Iversen, B.V., Engesgaard, P., Jessen, S., Kjærgaard, C. Nitrogen reduction along variable flow pathways in riparian lowland transects. Submitted Water Res. Research

Overfladeafstrømning er kritisk for kvælstofbalancen

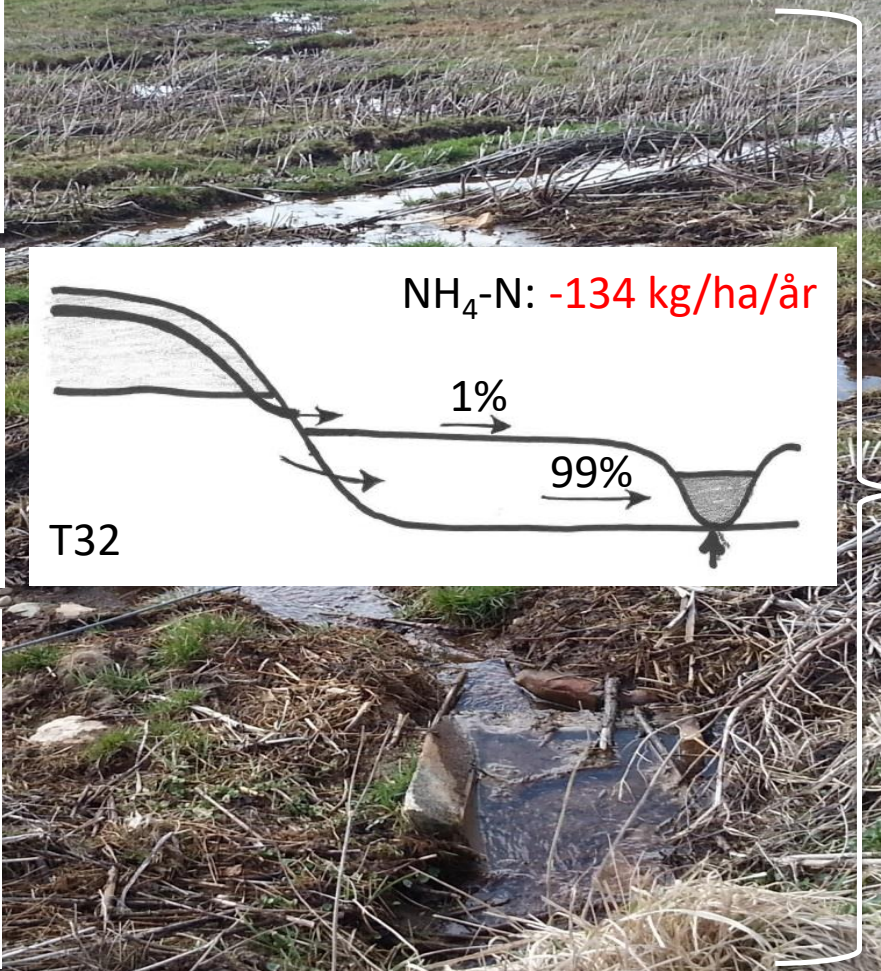


Foto: Charlotte Kjærgaard

# Tørvholdige vådbundsarealer har høj *in situ* frigivelse af organisk N



og i nogle tilfælde  $\text{NH}_4\text{-N}$

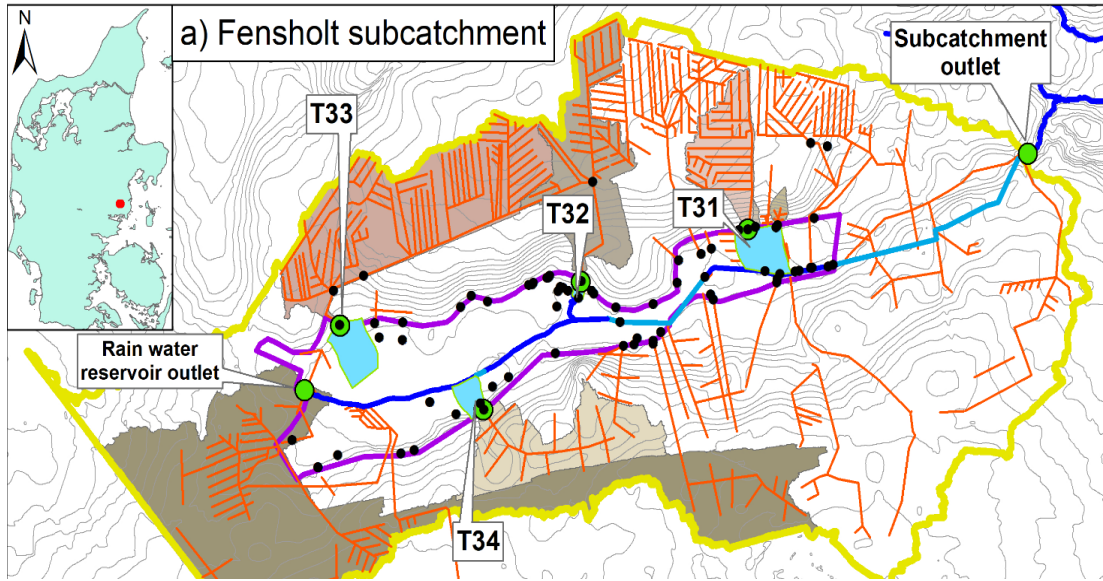


Gennemsnitligt arealnormeret  
*in situ*  $\text{N}_{\text{org}}$ -tab fra lavbund:  
-98 kg/ha/år

Total  $\text{N}_{\text{org}}$ -tab lavbund (26 ha):  
-2549 kg N/år

# Kvælstofbalance for Fensholt deloplant

Deloplant 194 ha heraf 26 ha (13%) lavbund



## Lavbundsarealets effekt på deloplantets N-balance

- Samlet N-transport vandløb: 2910 kg/år
- Samlet *in situ* N-tab lavbund: 2549 kg/år
- *In situ* N-tab lavbund: 88%

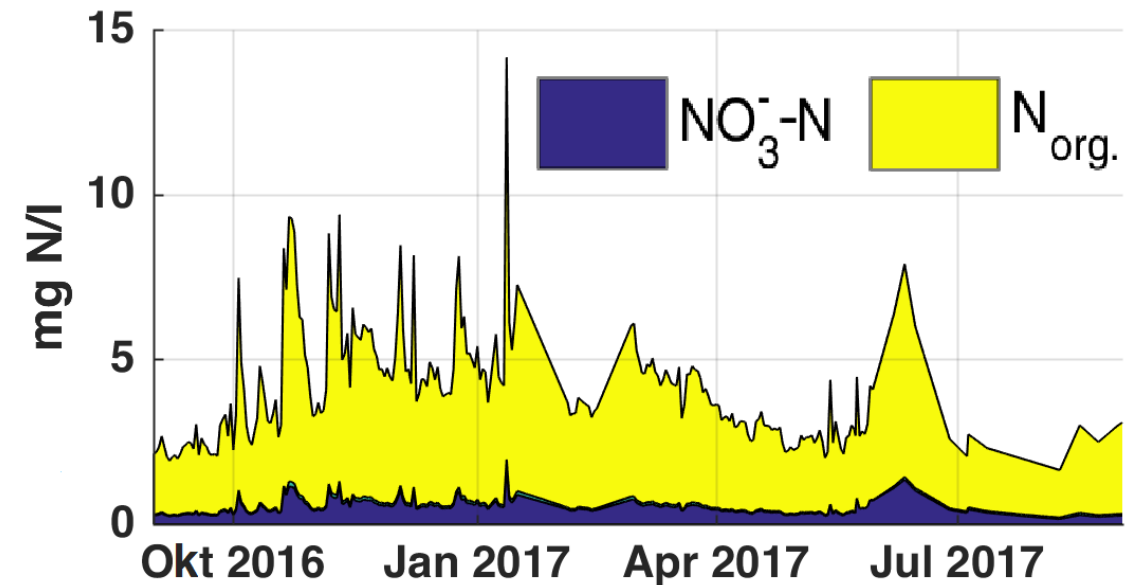
## Kvælstoftransport (vandløb)

2014/15: 14.6 kg/ha

2015/16: 16.4 kg/ha

2016/17: 15.9 kg/ha

[www.idraen.dk](http://www.idraen.dk)



# Hydrologen i lavbundsarealet kontrollerer kvælstofbalancen

Tabel 1. Nøgletal for N transformation for de fire transekter T31-T34

|   | T31          | T32          | T33          | T34  |
|---|--------------|--------------|--------------|------|
| Hydraulisk belastning [mm]                        | 1365         | 14075        | 4738         | 5261 |
| Nitrat-N tilførsel til lavbund [kg/ha lavbund/år] | 68           | 1045         | 397          | 282  |
| Total N tilførsel til lavbund [kg/ha lavbund/år]  | 81           | 1169         | 515          | 445  |
| Fjernelse af nitrat-N [kg/ha lavbund/år]          | 45<br>(66 %) | 206<br>(25%) | 350<br>(89%) | -    |
| Frigivelse af ammonium-N [kg/ha lavbund/år]       | -5.1         | 134          | -1           | -    |
| Frigivelse af organisk N [kg/ha lavbund/år]       | 19           | 113          | 160          | -    |
| Total N balance (fjernelse) [kg/ha lavbund/år]    | 31<br>(38%)  | 12<br>(1%)   | 205<br>(40%) | -    |

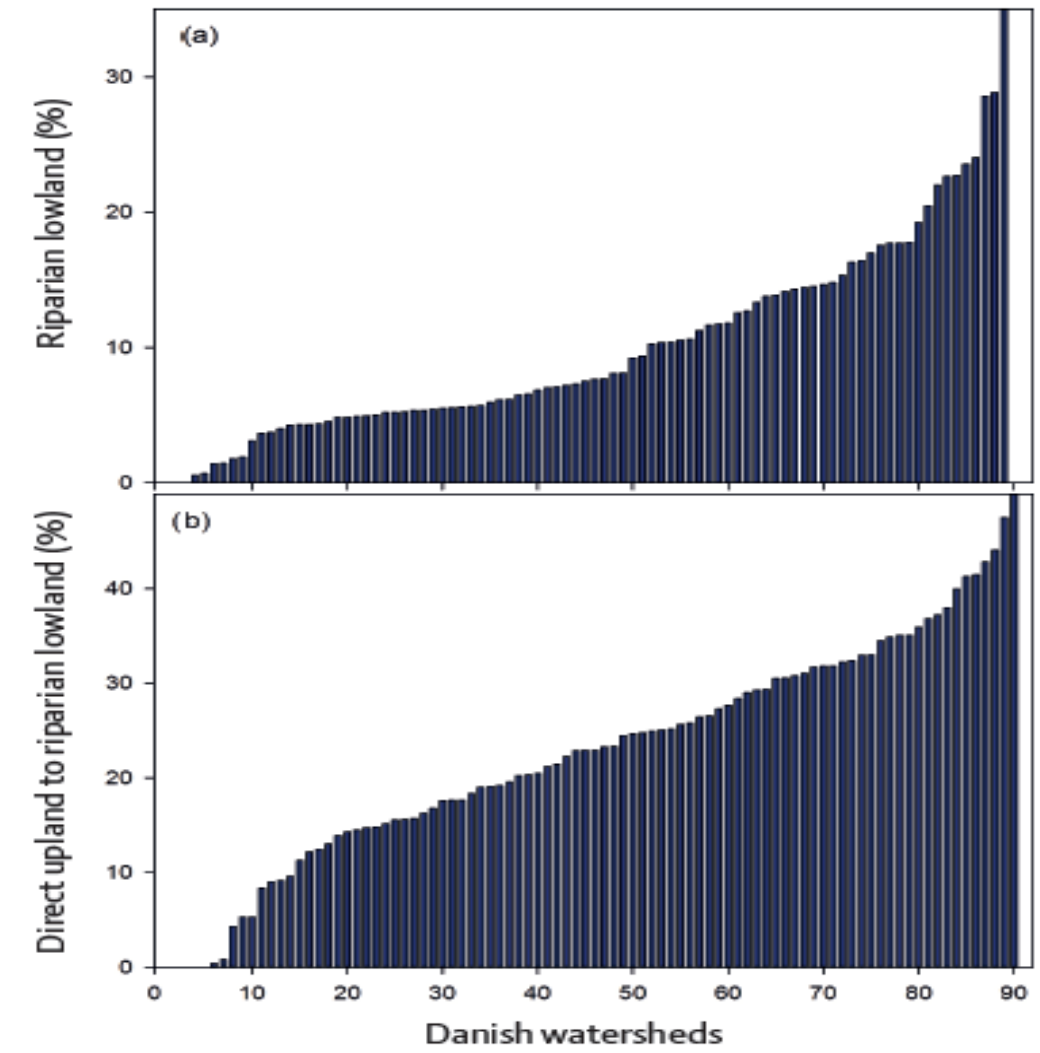
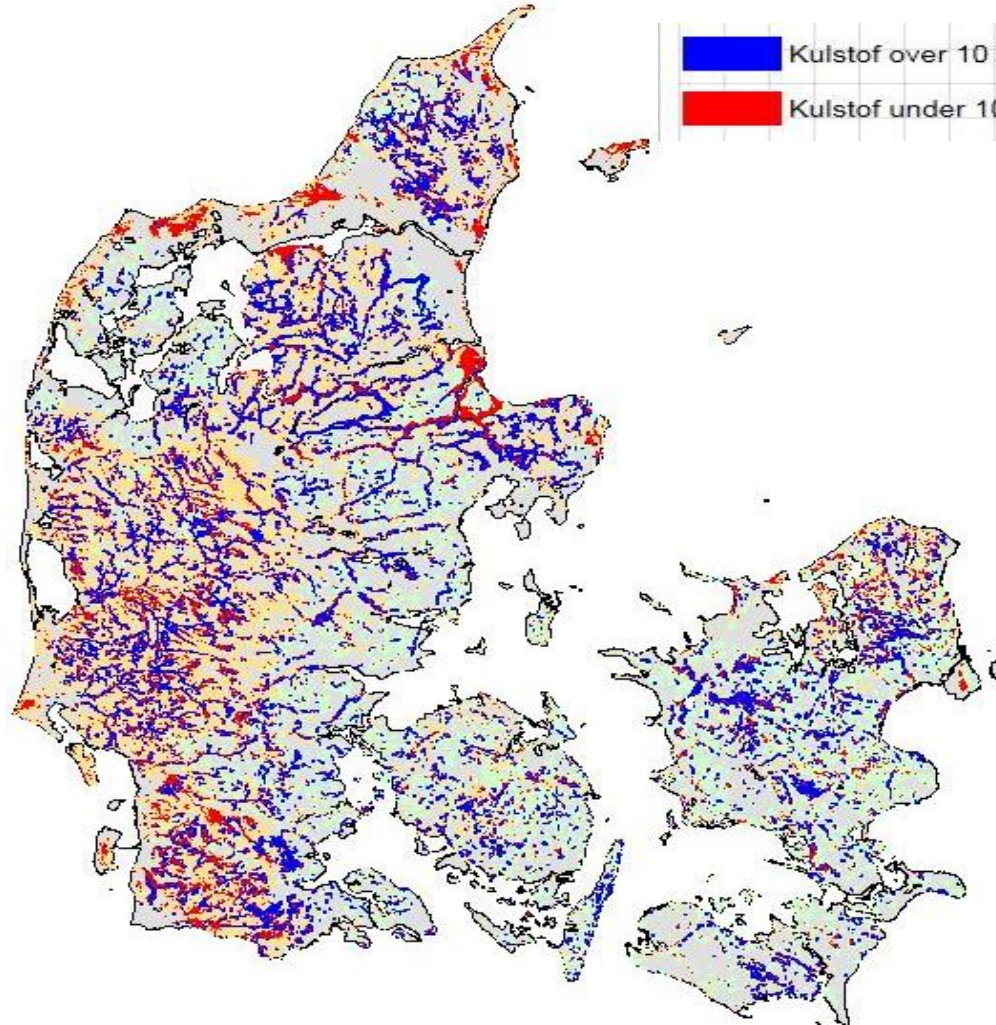
Petersen, R.J., Prinds, C., Iversen, B.V., Engesgaard, P., Jessen, S., Kjærgaard, C. Nitrogen reduction along variable flow pathways in riparian lowland transects. Submitted Water Res. Research

**Table 2: Means ( $\mu$ ) and standard deviations ( $\sigma$ ) of flow weighted yearly concentrations of N species  $\text{SO}_4$ , pH and  $\text{O}_2$ . Number of samples ranged from  $4 \leq n \leq 350$ .**

| [mg/l]           |     | TN    |          | NO <sub>3</sub> -N |          | NH <sub>4</sub> -N |          | N <sub>org</sub> |          | SO <sub>4</sub> |          | pH    |          | $\text{O}_2$ |          |  |     |     |  |     |     |
|------------------|-----|-------|----------|--------------------|----------|--------------------|----------|------------------|----------|-----------------|----------|-------|----------|--------------|----------|--|-----|-----|--|-----|-----|
|                  |     | $\mu$ | $\sigma$ | $\mu$              | $\sigma$ | $\mu$              | $\sigma$ | $\mu$            | $\sigma$ | $\mu$           | $\sigma$ | $\mu$ | $\sigma$ | $\mu$        | $\sigma$ |  |     |     |  |     |     |
| Drain in         | T31 | 10.9  | 4.8      |                    | 10.4     | 4.5                |          | <DL              | <DL      |                 | 0.4      | 0.5   |          | 31           | 0.5      |  | 7.3 | 0.2 |  | 9.9 | 3.4 |
|                  | T32 | 8.8   | 1.0      |                    | 8.2      | 0.8                |          | <DL              | <DL      |                 | 0.6      | 0.5   |          | 28           | 1.1      |  | 7.3 | 0.2 |  | 8.9 | 2.4 |
|                  | T33 | 12.9  | 3.2      |                    | 11.5     | 4.1                |          | <DL              | <DL      |                 | 1.3      | 1.6   |          | 31           | 1.9      |  | 7.7 | 0.2 |  | 8.9 | 3.6 |
|                  | T34 | 9.0   | 2.8      |                    | 6.3      | 3.1                |          | <DL              | <DL      |                 | 2.6      | 1.8   |          | 40           | 3.5      |  | 7.2 | 0.2 |  | 9.7 | 1.9 |
| Ground-water in  | T31 | 8.5   | 1.7      |                    | 7.8      | 1.4                |          | <DL              | <DL      |                 | 0.6      | 0.5   |          | 32           | 2.9      |  | 7.0 | 0.1 |  | -   | -   |
|                  | T32 | 1.7   | 0.6      |                    | 1.0      | 0.5                |          | <DL              | <DL      |                 | 0.6      | 0.2   |          | 37           | 1.4      |  | 7.0 | 0.2 |  | -   | -   |
|                  | T33 | 8.0   | 0.6      |                    | <DL      | <DL                |          | 6.2              | 0.4      |                 | 1.8      | 0.5   |          | 1.0          | 0.3      |  | 6.7 | 0.1 |  | -   | -   |
|                  | T34 | 10.7  | 3.0      |                    | 9.3      | 2.9                |          | 0.2              | 0.1      |                 | 1.3      | 0.7   |          | 32           | 6.9      |  | 7.2 | 0.1 |  | -   | -   |
| Overland out     | T31 | 6.2   | 1.7      |                    | 3.0      | 2.14               |          | <DL              | <DL      |                 | 3.0      | 0.7   |          | 46           | 5.1      |  | 7.7 | 0.1 |  | 7.7 | 6.5 |
|                  | T32 | 8.9   | 2.5      |                    | 6.5      | 2.5                |          | <DL              | <DL      |                 | 2.3      | 1.3   |          | 28           | 0.8      |  | 7.7 | 0.3 |  | 8.8 | 3.8 |
|                  | T33 | 5.9   | 2.9      |                    | 0.7      | 0.6                |          | 0.2              | 0.1      |                 | 5.0      | 2.3   |          | 13           | 6.5      |  | 7.4 | 0.1 |  | 2.9 | 1.4 |
| Ground-water out | T31 | 2.7   | 0.4      |                    | <DL      | <DL                |          | <DL              | <DL      |                 | 2.5      | 0.4   |          | 9.0          | 3.4      |  | 6.8 | 0.1 |  | -   | -   |
|                  | T32 | 4.9   | 0.3      |                    | <DL      | <DL                |          | 4.0              | 0.6      |                 | 0.9      | 0.5   |          | 1.7          | 4.0      |  | 6.7 | 0.1 |  | -   | -   |
|                  | T33 | 1.5   | 0.2      |                    | <DL      | <DL                |          | <DL              | <DL      |                 | 1.4      | 0.2   |          | 2.6          | 3.7      |  | 6.8 | 0.1 |  | -   | -   |
|                  | T34 | 2.3   | 0.1      |                    | <DL      | <DL                |          | 1.0              | 0.3      |                 | 1.3      | 0.3   |          | 0.7          | 0.4      |  | 6.8 | 0.1 |  | -   | -   |
| Drain out        | T31 | 6.7   | 1.9      |                    | 0.6      | 0.7                |          | 1.7              | 1.0      |                 | 4.4      | 2.1   |          | 10.8         | 5.6      |  | 6.9 | 0.2 |  | 3.2 | 2.0 |

DL = detection limit

# Perspektiver



Kjærgaard, C. & Hørfarter R. 2018. Potential significance of riparian lowlands on nitrogen fluxes from agricultural drainage in Danish watersheds. BONUS, Gdansk, Polen 14-16, March 2018

# Ripariske lavbundsarealers effekt på oplandets N-balance er signifikant

## Lavbund som N-sinks

- Fensholt med 13% riparisk lavbundsareal reducerer N-udledning fra mark til vandløb med 80-95%
- Potentialet varierer mellem vandoplande (ID15) og lavbundstype
- Forbedret viden om lavbundsarealers N-effekt på ID15-skala bør indarbejdes i fremtidige N-retentionskort og inddrages som væsentlig parameter i den målrettede kvælstofindsats
- Analyse af kvælstof-reduktionspotentialet for danske (ID15)vandoplande (senere)

## Lavbund som in situ N-kilder

- Højt *in situ* N-tab fra tørvholdige (ikke-omdrifts) lavbundsarealer (-98 kg/ha/år) må give anledning til revurdering af baggrunds N-udledning dvs. baseline, retentionskort samt år 1900-beregninger
- Forslag til scenarie<sup>1</sup>-beregninger

## Management

- Management af lavbundsarealer – helt afgørende at minimere risikoen for direkte overfladetransport samt overfladestrømning ved exfiltration -> optimering af infiltrationsareal i forhold til hydraulisk belastning, trykgradienter, afstrømningsforhold



Dronefoto: SEGES

TReNDS afslutningsseminar, 29. november 2018, Århus

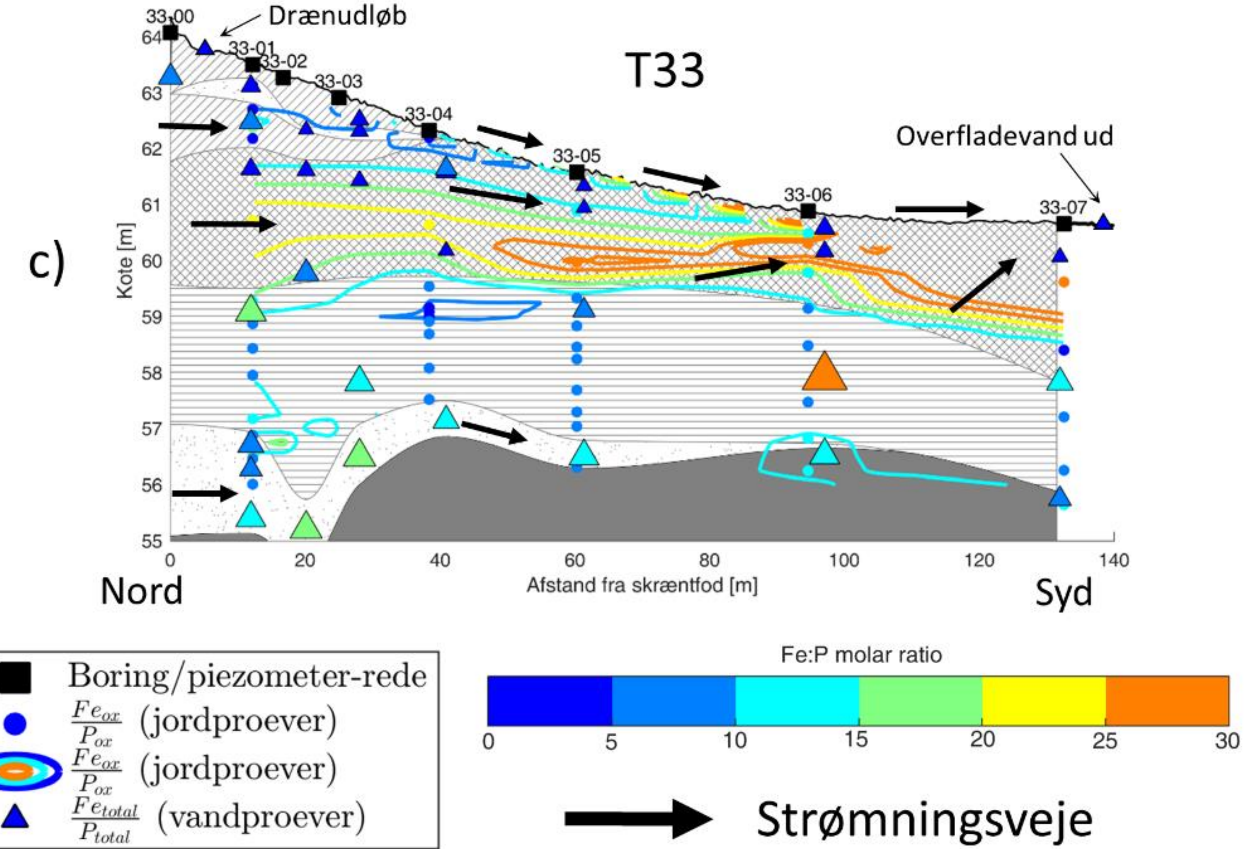
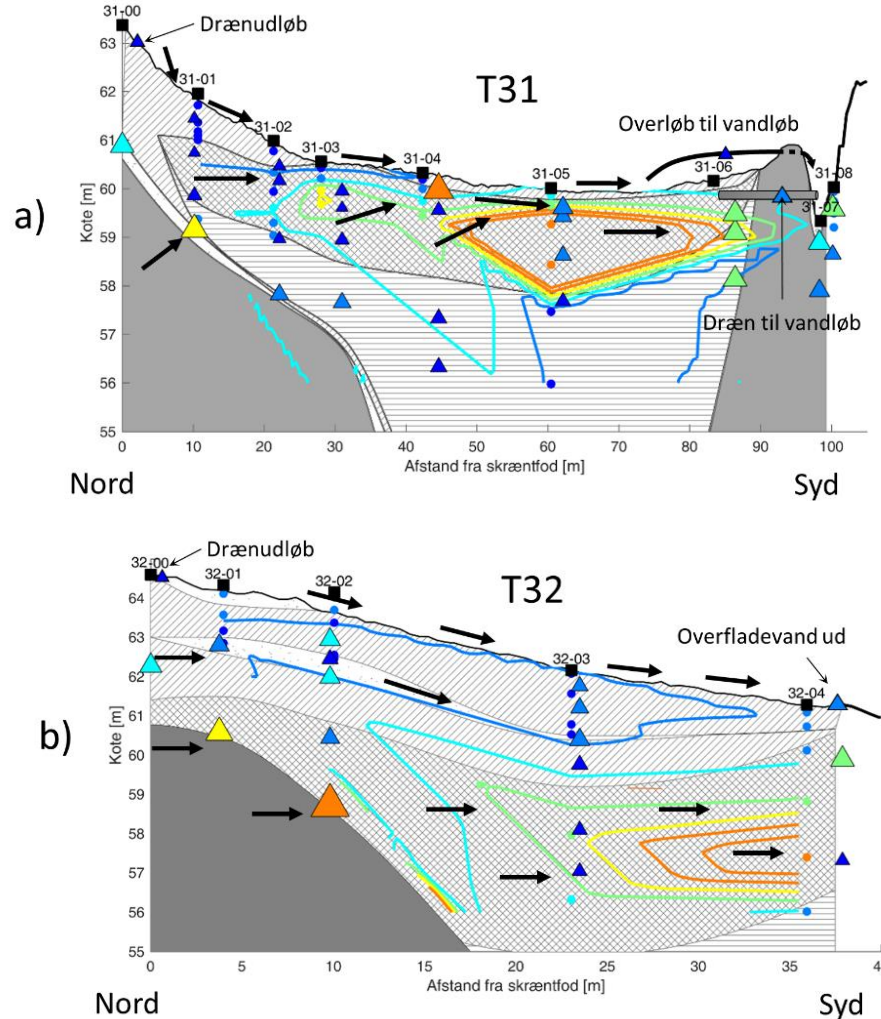
## Fosfordynamik i vandløbsnære lavbundsarealer

Chefforsker Charlotte Kjærgaard<sup>1,2</sup>

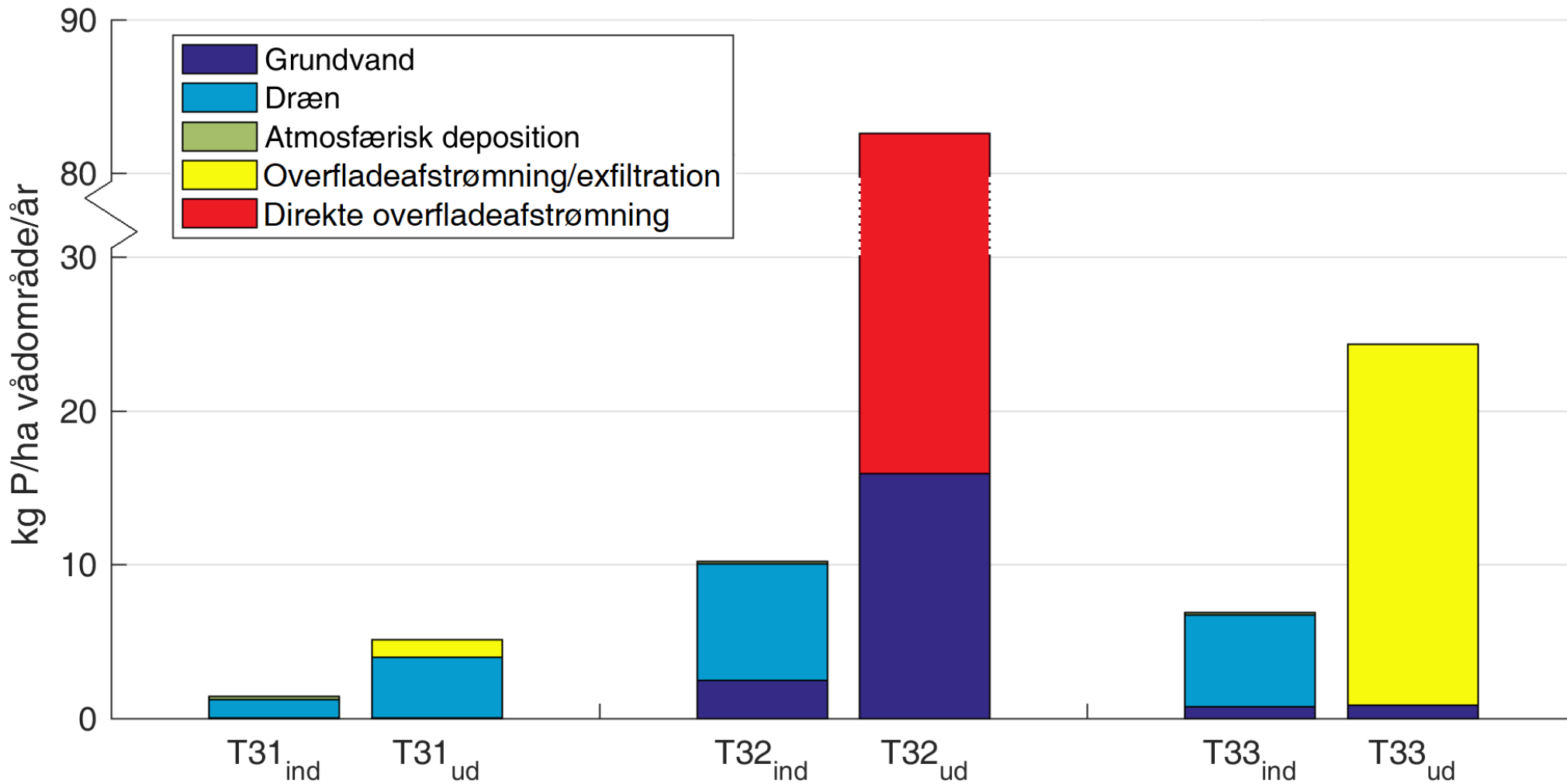
PhD-studerende Rasmus Jes Petersen<sup>2</sup>, Christian Prinds<sup>2</sup>, Lektor Bo V. Iversen<sup>2</sup>

<sup>1</sup> SEGES, Agro Food Park, Aarhus; <sup>2</sup> Aarhus Universitet, Institut for Agroøkologi (AGRO)

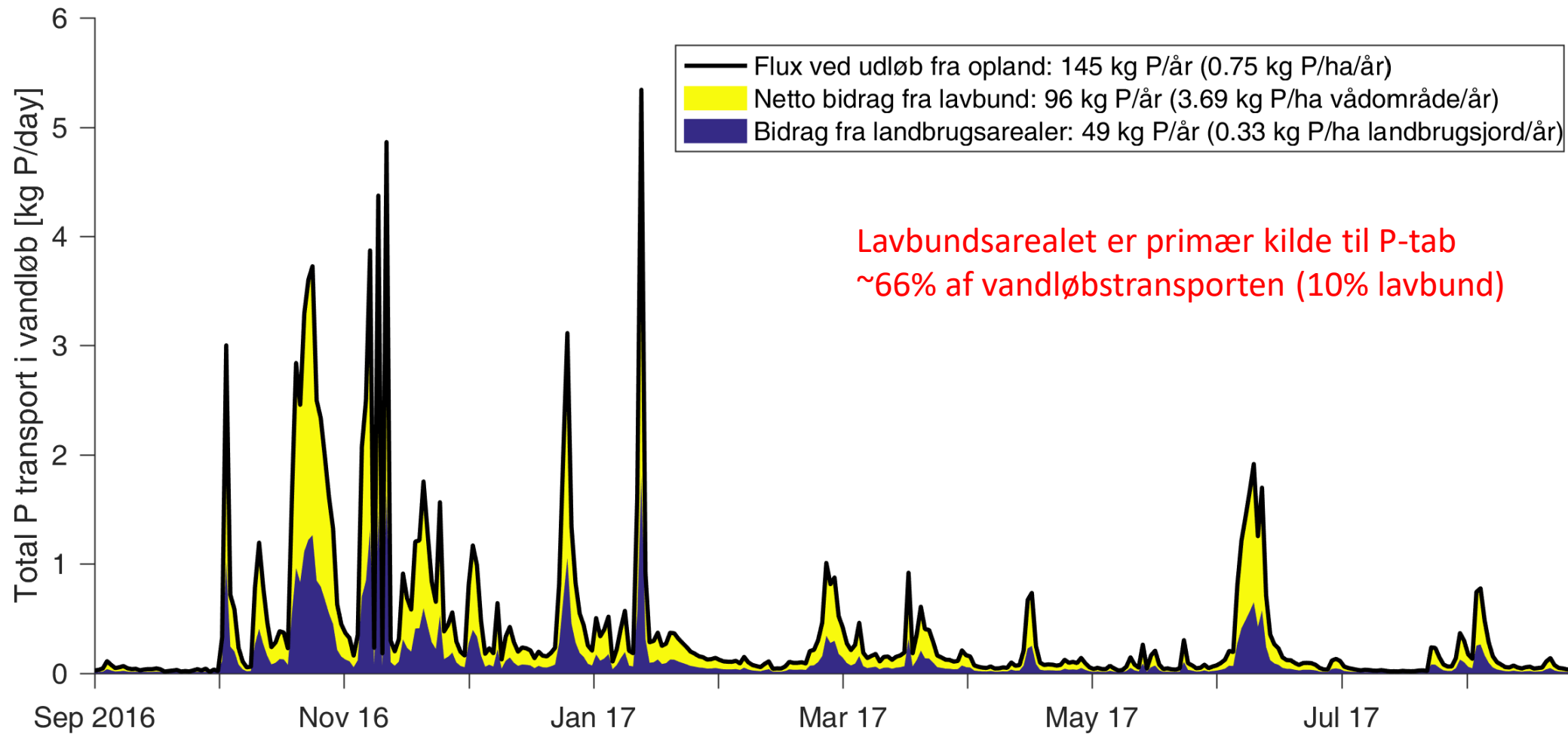
# Hydrologen i lavbundsarealet kontrollerer fosfordynamikken



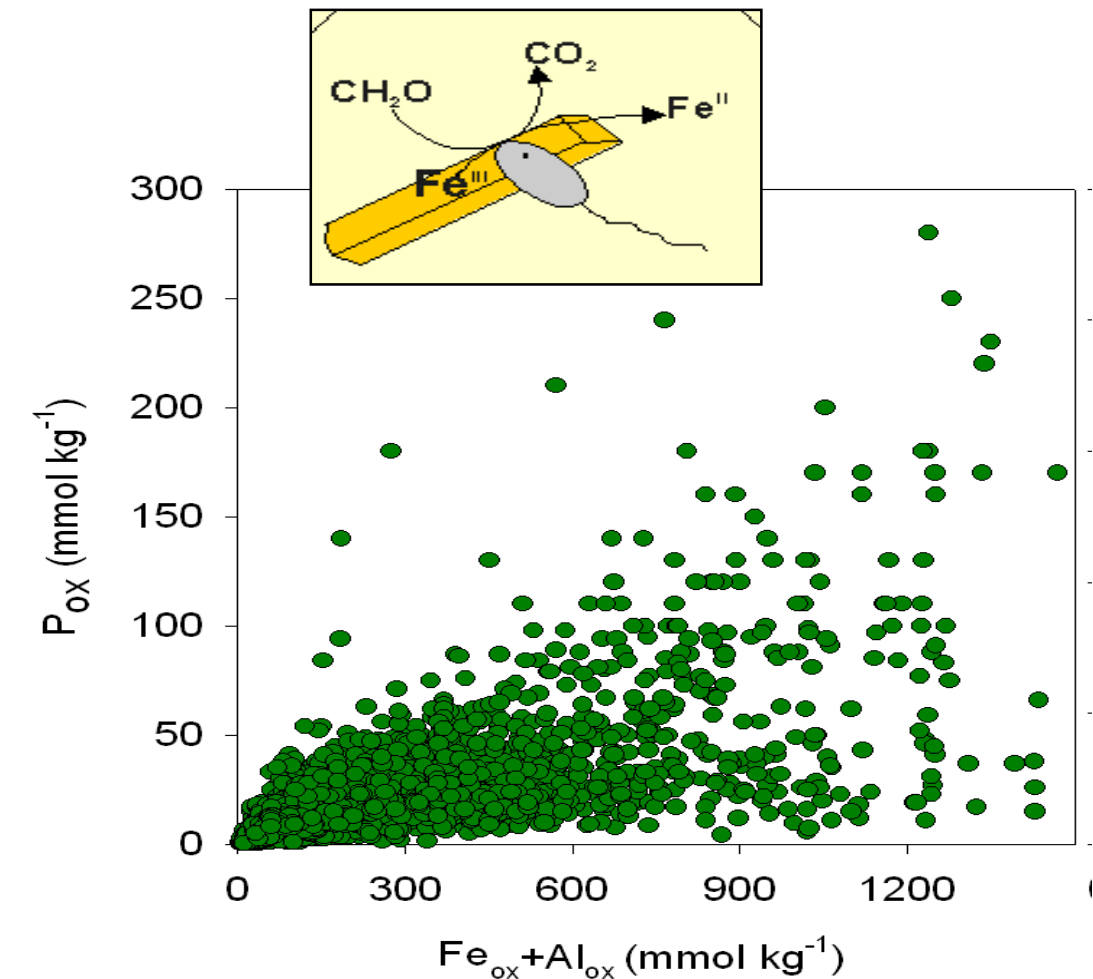
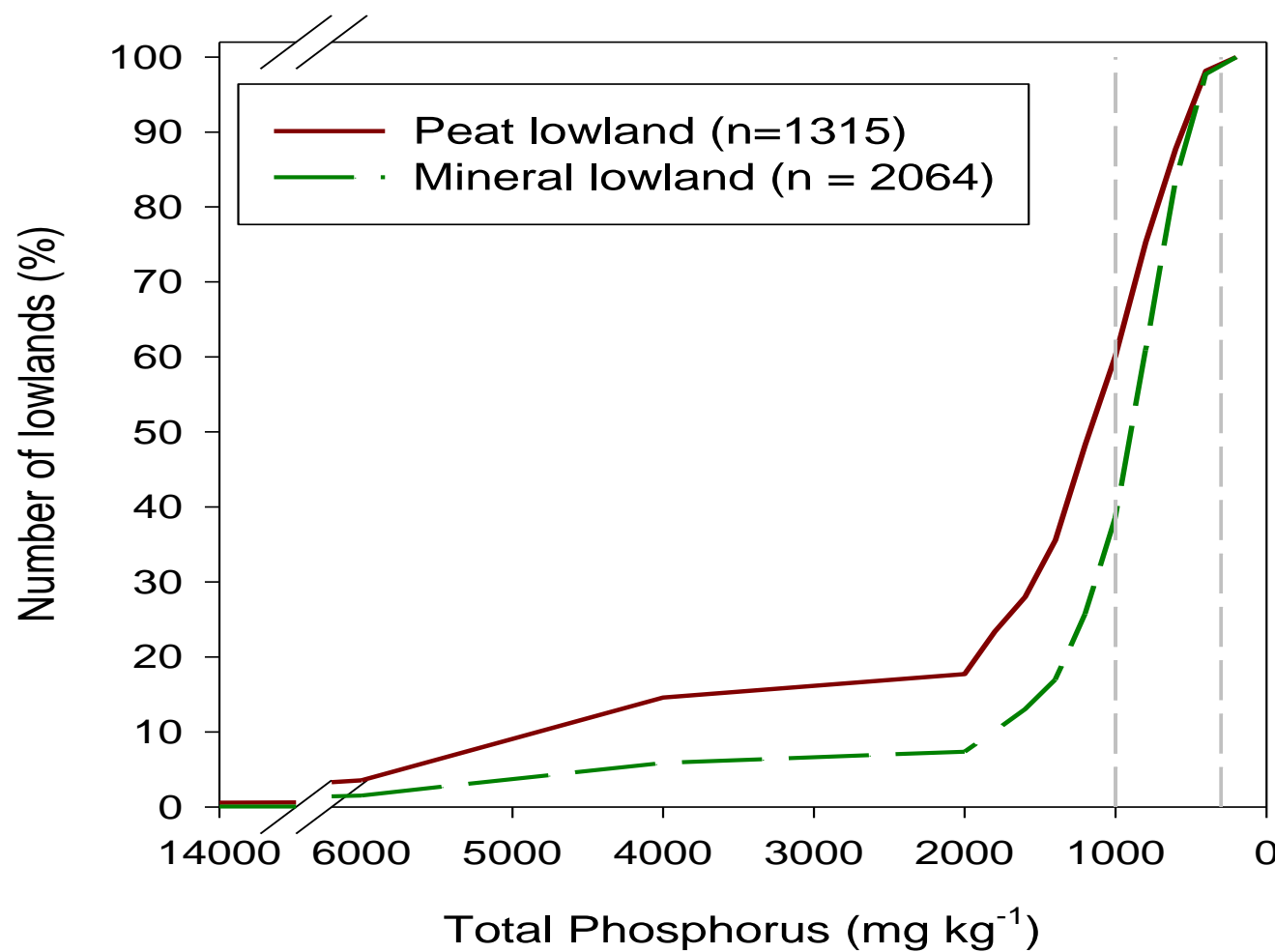
# Fosforbalance for lavbundstransekter



# Fosforbalance i deloplant med lavbundsareal (10%)



# Generelt højt P-indhold i danske lavbundsjorde



# Prædiktion af fosfortab fra lavbund (modeller)

Tabel 1. Målte P-tab fra transekter (T31, T32, T33) sammenholdes med model-estimerede P-tab ved anvendelse af gennemsnitlige Fe:P estimerer fra (i) strømningsvej og (ii) topjorden (0-30 cm).

|                              | Fe <sub>ox</sub> :P <sub>ox</sub><br>molforhold | P-model P-tabsrate<br>kg/ha/mm | P-tab total kg/<br>ha/år | P-tab grundvand<br>kg/ha/år | P-tab overflade<br>afstrømning kg/ha/år |
|------------------------------|---|--------------------------------|--------------------------|-----------------------------|---|
| T31_målt                     | -   | -                              | 8,5                      | 7,70                        | 0,87                                    |
| T31_P-model<br>Strømningsvej | 13,38   | 0,0110                         | 8,3                      |                             |   |
| T31_P-model<br>Topjord       | 7,94  | 0,0181                         | 13,7                     |                             |   |
| T33_målt                     | -   | -                              | 25,3                     | 0,9                         | 24,5                                    |
| T33_P-model<br>Strømningsvej | 22,1  | 0,006845                       | 27,9                     |                             |   |
| T33_P-model<br>Topjord       | 7,80  | 0,01847                        | 75                       |                             |   |
| T32_målt                     | -   | -                              | 83,2                     | 15,9                        | 67,0                                    |
| T32_P-model<br>Strømningsvej | 22,5  | 0,006711                       | 90,0                     |                             |   |
| T32_P-model<br>Topjord       | 6,08  | 0,02344                        | 314                      |                             |   |